

(19) 日本国特許庁(JP)

(12) 特 許 公 報(B2)

(11) 特許番号

特許第5464146号  
(P5464146)

(45) 発行日 平成26年4月9日(2014.4.9)

(24) 登録日 平成26年1月31日(2014.1.31)

(51) Int. Cl. F I  
**G06F 9/50 (2006.01)** G O 6 F 9/46 4 6 5 E  
**G06F 9/48 (2006.01)** G O 6 F 9/46 4 5 2 H

請求項の数 5 (全 25 頁)

<p>(21) 出願番号 特願2010-537726 (P2010-537726)</p> <p>(86) (22) 出願日 平成21年8月20日 (2009.8.20)</p> <p>(86) 国際出願番号 PCT/JP2009/064541</p> <p>(87) 国際公開番号 W02010/055719</p> <p>(87) 国際公開日 平成22年5月20日 (2010.5.20)</p> <p>審査請求日 平成24年7月12日 (2012.7.12)</p> <p>(31) 優先権主張番号 特願2008-292119 (P2008-292119)</p> <p>(32) 優先日 平成20年11月14日 (2008.11.14)</p> <p>(33) 優先権主張国 日本国(JP)</p> <p>前置審査</p>	<p>(73) 特許権者 000004237 日本電気株式会社 東京都港区芝五丁目7番1号</p> <p>(74) 代理人 100123788 弁理士 官崎 昭夫</p> <p>(74) 代理人 100106138 弁理士 石橋 政幸</p> <p>(74) 代理人 100127454 弁理士 緒方 雅昭</p> <p>(72) 発明者 鈴木 紀章 東京都港区芝五丁目7番1号 日本電気株式会社内</p> <p>(72) 発明者 酒井 淳嗣 東京都港区芝五丁目7番1号 日本電気株式会社内</p> <p style="text-align: right;">最終頁に続く</p>
---	--

(54) 【発明の名称】 スケジュール決定装置

(57) 【特許請求の範囲】

【請求項1】

第1のタスクが分割された複数のサブタスクが満たすべき実行順序の依存関係を取得する依存関係取得手段と、

前記依存関係取得手段により取得された前記依存関係を満たし、かつ、前記複数のサブタスクを複数の処理装置で実行する複数のサブタスク構成候補を作成する候補作成手段と、

前記候補作成手段により作成された前記サブタスク構成候補のそれぞれに、更に少なくとも1つの第2のタスクを配置することにより、複数のスケジュール候補を作成するスケジューリング手段と、

前記スケジューリング手段により作成された前記複数のスケジュール候補のそれぞれについて、前記第1のタスクの有効度と前記第2のタスクの有効度とのそれぞれから導出される、前記第1のタスク及び前記第2のタスクの実行に対する有効性を示す有効度を算出する有効度算出手段と、

前記有効度算出手段により算出された前記有効度に基づいて、前記複数のスケジュール候補の中から、前記第1のタスク及び前記第2のタスクの実行に用いるスケジュール候補を決定する候補決定手段と、

前記候補作成手段により作成された前記複数のサブタスク構成候補を複数のグループに分類し、該グループに属する第1及び第2のサブタスク構成候補を選択し、前記第1のタスク構成候補の実行期間のうち前記第2のタスク構成候補の実行期間と一致しない期間を

、前記第2のタスク構成候補に追加する処理を行う重ね合わせ手段と、  
を有するスケジュール決定装置。

【請求項2】

前記有効度算出手段は、前記重ね合わせ手段により前記処理が行われた前記グループに  
対応するスケジュール候補ごとに、有効度を更に算出し、算出した該有効度に基づいて、  
いずれか1つのグループを選択し、選択した該グループに属するサブタスク構成候補に対  
応するスケジュール候補ごとに、有効度を算出する、請求項1に記載のスケジュール決定  
装置。

【請求項3】

前記重ね合わせ手段は、各グループに属する前記サブタスク構成候補の数の差が所定値  
以下になるように、前記複数の候補を分類する、請求項2に記載のスケジュール決定装置  
。

10

【請求項4】

前記重ね合わせ手段は、それぞれのサブタスク構成候補において所定の処理装置に配置  
されたサブタスクの実行時間の合計値を算出し、各グループに属する、それぞれのサブタ  
スク構成候補について算出された該合計値がグループごとに予め定められた範囲内になる  
ように、前記複数の候補を分類する、請求項2又は3に記載のスケジュール決定装置。

【請求項5】

前記重ね合わせ手段は、第1の処理装置でサブタスクの実行が開始された時刻から第2  
の処理装置でサブタスクの実行が開始されるまでの時間であるオフセットが所定値以上異  
なるサブタスク構成候補が異なるグループに属するように、前記複数の候補を分類する、  
請求項2乃至4のいずれか1項に記載のスケジュール決定装置。

20

【発明の詳細な説明】

【技術分野】

【0001】

本発明は、複数のタスクを並列して実行するためのスケジューリングを行う技術に関す  
る。

【背景技術】

【0002】

近年では、デジタル機器の高性能化および低消費電力化の要求が高まっている。これら  
の要求を解決する手段として、組み込みLSI (Large Scale Integration) に複数の  
プロセッサを搭載し、マルチコア構成とする方法が注目を集めている。

30

【0003】

このようなマルチコア構成の機器を効率的に利用するには、アプリケーションを並列に  
実行するために並列プログラミングを行う必要があるが、一般的に並列プログラミングは  
、従来のシングルコア用のプログラミングよりも考慮すべき点が多く、難易度が高い。

【0004】

並列プログラミングを容易にするため、特許文献1に記載のマルチプロセッサシステム  
では、コンパイラが、入力プログラムから並列性を持つサブタスクを抽出し、各プロセッ  
サユニットの特性に合わせてサブタスクを配置することで、効率的なスケジューリングを  
行っている。

40

【0005】

また、リアルタイムシステムにおいては、並列に実行されるアプリケーションがタスク  
の実行周期が経過するまでに、そのタスクが完了しない事態(デッドラインミス)となら  
ないように、スケジューリングを行う必要がある。

【0006】

このデッドラインミスを防止するため、特許文献2に記載のスケジューリング判定方法  
は、所定の判定式を使用することで、デッドラインミスを起こすことなく、マルチコア用  
のスケジュールを実行できるかどうかを判定している。

【先行技術文献】

50

## 【特許文献】

【0007】

【特許文献1】特許4082706号

【特許文献2】特許4016010号

## 【発明の概要】

## 【発明が解決しようとする課題】

【0008】

しかし、特許文献1に記載のスケジューリングで最適のものとして求めた並列実行形式は、複数のタスクが異なる周期で独立に起動するシステムでは、必ずしも最適のスケジューリングにならないという問題があった。

10

【0009】

各タスクの実行周期が異なる場合、それぞれのタスクが必要に応じてプロセッサ(コア)を利用するため、あるタスクの影響により、他のタスクの実行が待たされる場合がある。

【0010】

特に、複数コアを使用してタスクを並列に実行するようなスケジューリングがなされると、ある1つのコアが他のタスクを実行しているだけで、並列に実行すべきタスク(並列実行タスク)が待たされて、装置全体が、その並列実行タスクを全く実行できない状態が発生しうる。

【0011】

このため、全てのタスクの影響を考慮すると、特許文献1に記載の自動並列化コンパイラによっても、スケジュールを最適化できないことがある。

20

【0012】

特許文献2に記載の方法では、作成したスケジュールにおいてデッドラインミスが生じるか否か、つまり、そのスケジュールが複数のコアで並列実行できるか否かを判断できるが、並列実行できるスケジュールのうち、いずれがタスクの実行に最適であるかについては判断できないという問題があった。

【0013】

本発明は、マルチコアで、複数のタスクを並列実行するスケジュールを最適化する技術を提供することを目的とする。

30

## 【課題を解決するための手段】

【0014】

上記目的を達成するために、本発明のスケジュール決定装置は、第1のタスクが分割された複数のサブタスクが満たすべき実行順序の依存関係を取得する依存関係取得手段と、前記依存関係取得手段により取得された前記依存関係を満たし、かつ、前記複数のサブタスクを複数の処理装置で実行する複数のサブタスク構成候補を作成する候補作成手段と、前記候補作成手段により作成された前記サブタスク構成候補のそれぞれに、更に少なくとも1つの第2のタスクを配置することにより、複数のスケジュール候補を作成するスケジューリング手段と、前記スケジューリング手段により作成された前記複数のスケジュール候補のそれぞれについて、前記第1のタスク及び前記第2のタスクの実行に対する有効性を示す有効度を算出する有効度算出手段と、前記有効度算出手段により算出された前記有効度に基づいて、前記複数のスケジュール候補の中から、前記第1のタスク及び前記第2のタスクの実行に用いるスケジュール候補を決定する候補決定手段と、を有する。

40

【0015】

本発明の並列実行装置は、第1のタスクが分割された複数のサブタスクが満たすべき実行順序の依存関係を取得する依存関係取得手段と、前記依存関係取得手段により取得された前記依存関係を満たし、かつ、前記複数のサブタスクを複数の処理装置で実行する複数のサブタスク構成候補を作成する候補作成手段と、前記候補作成手段により作成された前記サブタスク構成候補のそれぞれに、更に少なくとも1つの第2のタスクを配置することにより、複数のスケジュール候補を作成するスケジューリング手段と、前記スケジューリ

50

ング手段により作成された前記複数のスケジュール候補のそれぞれについて、前記第1のタスク及び前記第2のタスクの実行に対する有効性を示す有効度を算出する有効度算出手段と、前記有効度算出手段により算出された前記有効度に基づいて、前記複数のスケジュール候補の中から、前記第1のタスク及び前記第2のタスクの実行に用いるスケジュール候補を決定する候補決定手段と、前記候補決定手段により決定された前記スケジュール候補を使用して前記第1のタスク及び前記第2のタスクを実行する並列実行手段と、を有する。

【0016】

本発明のスケジュール決定方法は、第1のタスクが分割された複数のサブタスクが満たすべき実行順序の依存関係を取得し、前記依存関係を満たし、かつ、前記複数のサブタスクを複数の処理装置で実行する複数のサブタスク構成候補を作成し、前記サブタスク構成候補のそれぞれに、更に少なくとも1つの第2のタスクを配置することにより、複数のスケジュール候補を作成し、前記複数のスケジュール候補のそれぞれについて、前記第1のタスク及び前記第2のタスクの実行に対する有効性を示す有効度を算出し、前記有効度に基づいて、前記複数のスケジュール候補の中から、前記第1のタスク及び前記第2のタスクの実行に用いるスケジュール候補を決定する。

【0017】

本発明の第1の観点にかかるプログラムは、コンピュータに、第1のタスクが分割された複数のサブタスクが満たすべき実行順序の依存関係を取得する依存関係取得手順、前記依存関係取得手順で取得された前記依存関係を満たし、かつ、前記複数のサブタスクを複数の処理装置で実行する複数のサブタスク構成候補を作成する候補作成手順、前記候補作成手順で作成された前記サブタスク構成候補のそれぞれに、更に少なくとも1つの第2のタスクを配置することにより、複数のスケジュール候補を作成するスケジュールリング手順、前記スケジュールリング手順で作成された前記複数のスケジュール候補のそれぞれについて、前記第1のタスク及び前記第2のタスクの実行に対する有効性を示す有効度を算出する有効度算出手順、及び前記有効度算出手順で算出された前記有効度に基づいて、前記複数のスケジュール候補の中から、前記第1のタスク及び前記第2のタスクの実行に用いるスケジュール候補を決定する候補決定手順、を実行させるためのプログラムである。

【0018】

本発明の第2の観点にかかるプログラムは、コンピュータに、第1のタスクが分割された複数のサブタスクが満たすべき実行順序の依存関係を取得する依存関係取得手順、前記依存関係取得手順で取得された前記依存関係を満たし、かつ、前記複数のサブタスクを複数の処理装置で実行する複数のサブタスク構成候補を作成する候補作成手順、前記候補作成手順で作成された前記サブタスク構成候補のそれぞれに、更に少なくとも1つの第2のタスクを配置することにより、複数のスケジュール候補を作成するスケジュールリング手順、前記スケジュールリング手順で作成された前記複数のスケジュール候補のそれぞれについて、前記第1のタスク及び前記第2のタスクの実行に対する有効性を示す有効度を算出する有効度算出手順、前記有効度算出手順で算出された前記有効度に基づいて、前記複数のスケジュール候補の中から、前記第1のタスク及び前記第2のタスクの実行に用いるスケジュール候補を決定する候補決定手順、及び前記候補決定手順で決定された前記スケジュール候補を使用して前記第1のタスク及び前記第2のタスクを実行する並列実行手順、を実行させるためのプログラムである。

【発明の効果】

【0019】

本発明によれば、スケジュール決定装置は、第1のタスクから分割されたサブタスクを、依存関係を満たすように複数のコアに配置して複数のサブタスク構成候補を作成し、候補ごとに、第2のタスクを配置した場合におけるスケジュールリング候補を作成し、各スケジュールリング候補の有効度に基づいてスケジュールを決定する。スケジュールリング決定装置は、サブタスクを配置した後に、その合間に第2のタスクを配置するので、並列に実行する第1のタスクが待たされて、スケジュール全体が実行不能となることが少なくなる。

また、スケジュール決定装置は、スケジューリング候補ごとに有効度を算出するので、有効度に基づいて最適のスケジューリング候補を求めることにより、スケジュールを最適化できる。

【図面の簡単な説明】

【 0 0 2 0 】

【図 1】本発明の第1の実施形態のスケジュール決定装置の構成を示すブロック図である。

【図 2】本発明の第1の実施形態の依存関係取得部の構成を示すブロック図である。

【図 3】( a ) 本発明の第1の実施形態の並列実行タスクの形状を示す図である。( b ) 本発明の第1の実施形態のシングル実行タスクの形状を示す図である。( c ) 本発明の第1の実施形態のサブタスクの形状を示す図である。( d ) 本発明の第1の実施形態のサブタスクの依存関係を示す図である。

【図 4】本発明の第1の実施形態の候補作成部の構成を示すブロック図である。

【図 5】( a ) 本発明の第1の実施形態のタスク構成候補の形状を示す図である。( b ) 本発明の第1の実施形態のタスク構成候補の形状を示す図である。( c ) 本発明の第1の実施形態のタスク構成候補の形状を示す図である。

【図 6】( a ) 本発明の第1の実施形態の代表化されたタスク構成候補の形状を示す図である。( b ) 本発明の第1の実施形態の代表化されたタスク構成候補の形状を示す図である。( c ) 本発明の第1の実施形態の代表化されたタスク構成候補の形状を示す図である。

【図 7】本発明の第1の実施形態のタスク構成候補の実行時間およびオフセットを示すテーブルである。

【図 8】( a ) 本発明の第1の実施形態のスケジューリングの結果を示す図である。( b ) 本発明の第1の実施形態のスケジューリングの結果を示す図である。( c ) 本発明の第1の実施形態のスケジューリングの結果を示す図である。( d ) 本発明の第1の実施形態のスケジューリングの結果を示す図である。( e ) 本発明の第1の実施形態のスケジューリングの結果を示す図である。( f ) 本発明の第1の実施形態のスケジューリングの結果を示す図である。( g ) 本発明の第1の実施形態のスケジューリングの結果を示す図である。( h ) 本発明の第1の実施形態のスケジューリングの結果を示す図である。( i ) 本発明の第1の実施形態のスケジューリングの結果を示す図である。

【図 9】本発明の第1の実施形態の有効度スコアの算出結果を示すテーブルである。

【図 10】本発明の第1の実施形態の候補決定部の構成を示すブロック図である。

【図 11】本発明の第1の実施形態のスケジュール決定装置の動作を示すフローチャートである。

【図 12】本発明の第1の実施形態の依存関係作成処理を示すフローチャートである。

【図 13】本発明の第1の実施形態の候補作成処理を示すフローチャートである。

【図 14】本発明の第1の実施形態の候補決定処理を示すフローチャートである。

【図 15】本発明の第2の実施形態の候補作成処理を示すフローチャートである。

【図 16】( a ) 本発明の第2の実施形態の並列実行タスクの形状を示す図である。( b ) 本発明の第2の実施形態のサブタスクの形状を示す図である。( c ) 本発明の第2の実施形態のサブタスクの依存関係を示す図である。

【図 17】( a ) 本発明の第2の実施形態のタスク構成候補の形状を示す図である。( b ) 本発明の第2の実施形態のタスク構成候補の形状を示す図である。( c ) 本発明の第2の実施形態のタスク構成候補の形状を示す図である。( d ) 本発明の第2の実施形態のタスク構成候補の形状を示す図である。( e ) 本発明の第2の実施形態のタスク構成候補の形状を示す図である。( f ) 本発明の第2の実施形態のタスク構成候補の形状を示す図である。( g ) 本発明の第2の実施形態のタスク構成候補の形状を示す図である。( h ) 本発明の第2の実施形態のタスク構成候補の形状を示す図である。

【図 18】( a ) 本発明の第2の実施形態のタスク構成候補の形状を示す図である。( b ) 本発明の第2の実施形態のタスク構成候補の形状を示す図である。( c ) 本発明の第2

10

20

30

40

50

の実施形態のタスク構成候補の形状を示す図である。(d)本発明の第2の実施形態のタスク構成候補の形状を示す図である。(e)本発明の第2の実施形態のタスク構成候補の形状を示す図である。(f)本発明の第2の実施形態のタスク構成候補の形状を示す図である。(g)本発明の第2の実施形態のタスク構成候補の形状を示す図である。(h)本発明の第2の実施形態のタスク構成候補の形状を示す図である。

【図19】本発明の第2の実施形態のスケジューリングの結果を示す図である。

【図20】(a)本発明の第2の実施形態のタスク構成候補の形状を示す図である。(b)本発明の第2の実施形態のタスク構成候補の形状を示す図である。

【図21】本発明の第3の実施形態の候補作成部の構成を示すブロック図である。

【図22】(a)本発明の第3の実施形態のタスク構成候補の形状を示す図である。(b)本発明の第3の実施形態のタスク構成候補の形状を示す図である。(c)本発明の第3の実施形態のタスク構成候補の形状を示す図である。(d)本発明の第3の実施形態のタスク構成候補の形状を示す図である。(e)本発明の第3の実施形態のタスク構成候補の形状を示す図である。

【図23】本発明の第3の実施形態の候補作成処理を示すフローチャートである。

【図24】本発明の第3の実施形態のスケジュール決定装置の動作を示すフローチャートである。

【図25】本発明の第3の実施形態の候補の分類結果を示すテーブルである。

【図26】本発明の第3の実施形態の候補の分類結果を示すテーブルである。

【図27】本発明の第3の実施形態の候補の分類結果を示すテーブルである。

【図28】(a)本発明の第3の実施形態の並列実行タスクの形状を示す図である。(b)本発明の第3の実施形態のサブタスクの形状を示す図である。(c)本発明の第3の実施形態のサブタスクの依存関係を示す図である。

【図29】(a)本発明の第3の実施形態のタスク構成候補の形状を示す図である。(b)本発明の第3の実施形態のタスク構成候補の形状を示す図である。(c)本発明の第3の実施形態のタスク構成候補の形状を示す図である。(d)本発明の第3の実施形態のタスク構成候補の形状を示す図である。(e)本発明の第3の実施形態のタスク構成候補の形状を示す図である。(f)本発明の第3の実施形態のタスク構成候補の形状を示す図である。(g)本発明の第3の実施形態のタスク構成候補の形状を示す図である。(h)本発明の第3の実施形態のタスク構成候補の形状を示す図である。

【図30】(a)本発明の第3の実施形態のタスク構成候補の形状を示す図である。(b)本発明の第3の実施形態のタスク構成候補の形状を示す図である。(c)本発明の第3の実施形態のタスク構成候補の形状を示す図である。(d)本発明の第3の実施形態のタスク構成候補の形状を示す図である。(e)本発明の第3の実施形態のタスク構成候補の形状を示す図である。(f)本発明の第3の実施形態のタスク構成候補の形状を示す図である。(g)本発明の第3の実施形態のタスク構成候補の形状を示す図である。(h)本発明の第3の実施形態のタスク構成候補の形状を示す図である。

【図31】本発明の第3の実施形態のスケジューリングの結果を示す図である。

【図32】本発明の第3の実施形態の候補の分類結果を示すテーブルである。

【図33】本発明の第3の実施形態の候補の分類結果を示すテーブルである。

【図34】本発明の第4の実施形態の並列実行装置の構成を示すブロック図である。

【発明を実施するための形態】

【0021】

(第1の実施形態)

本発明を実施するための第1の形態について図面を参照して詳細に説明する。

【0022】

図1は、本実施形態のスケジュール決定装置1の構成を示すブロック図である。スケジュール決定装置1は、周期の異なる複数のタスクをマルチコアで並列実行する、最適のスケジュールを求める装置である。同図を参照すると、スケジュール決定装置1は、依存関係取得部11、候補作成部13、スケジューリング実行部15、有効度スコア算出部17

10

20

30

40

50

、および候補決定部 19 を有する。

【0023】

依存関係取得部 11 は、所定の実行周期（第 1 の周期）のタスク（第 1 のタスク）を複数のサブタスクに分割し、これらのサブタスク間の実行順序の依存関係を求める。または、予め第 1 の周期のタスクを複数のサブタスクに分割したものを入力しサブタスク間の実行順序の依存関係を求めても良い。

【0024】

候補作成部 13 は、依存関係を満たすように、サブタスクを、複数のコアで並列実行するスケジュールの候補（スケジューリング候補）を、複数個作成する。

【0025】

スケジューリング実行部 15 は、候補ごとに、サブタスクの合間に、分割したタスク（第 1 のタスク）と別のタスク（第 2 のタスク）を仮想的に実行する。

【0026】

有効度スコア算出部 17 は、実行した結果から、候補ごとに、その候補のタスク実行のスケジュールとしての有効性を示す有効度スコアを算出する。有効度スコアの算出方法については、後述する。

【0027】

候補決定部 19 は、有効度スコアが最も高い候補を最適の候補に決定する。

【0028】

図 2 は、依存関係取得部 11 の構成を示すブロック図である。同図を参照すると、依存関係取得部 11 は、タスク分割部 111 および依存グラフ作成部 113 を有する。

【0029】

図 3 (a)、(b)、(c)、および(d)は、タスク分割および依存関係について説明するための図である。スケジュール決定装置 1 は、複数の異なるタスクを、スケジューリングの対象とする。例えば、本実施形態では、図 3 (a) に示す、80 ミリ秒の周期で実行する Task 0 と、図 3 (b) に示す、200 ミリ秒の周期で実行する Task 1 についてスケジューリングを行う。また、同図 (a)、(b) におけるバーの長さは、各タスクの最大実行時間を示しており、例えば、Task 0、Task 1 の最大実行時間は、ともに 80 ミリ秒である。

【0030】

タスク分割部 111 は、スケジューリング対象のタスクのうち、複数のコアで並列実行するタスク（以下「並列実行タスク」という）について、そのタスクを分割できる時点（分割点）を探索する。分割点の決定においては、タスク分割部 111 は、サブタスクに分割しても並列に実行できない性質のものについては一般には分割しないが、サブタスク間のデータの受け渡し量が少ないなど、依存が弱いものについては、分割する。但し、分割したタスク（以下、「サブタスク」という）ごとの最大実行時間などの時間情報を用いて最適化を行うので、タスクを構成するプログラムの分割は要しない。

【0031】

ここで、タスク（サブタスク）ごとの最大実行時間は、特許文献 1 の p 113 ~ 115 に記載の方法を使用するなどして求められる。

【0032】

そして、タスク分割部 111 は、その分割点で並列実行タスクを複数のサブタスクに分割する。1つのコアで実行するタスク（以下「シングル実行タスク」という）については、タスク分割部 111 は分割しない。例えば、本実施形態では、Task 0 が並列実行タスクであり、Task 1 はシングル実行タスクである。このため、タスク分割部 111 は、Task 0 のみをサブタスクに分割する。

【0033】

図 3 (c) は、タスク分割部 111 が分割した並列実行タスクを示す図である。例えば、Task 0 は、最大実行時間が 20 ミリ秒の Task 0[0] と、最大実行時間が 35 ミリ秒の Task 0[1] と、最大実行時間が 25 ミリ秒の Task 0[2] とに分割される。

10

20

30

40

50

## 【 0 0 3 4 】

依存グラフ作成部 1 1 3 は、サブタスク間の実行順序の依存関係を求める。図 3 ( d ) は、依存グラフ作成部 1 1 3 により求められた依存関係を、図示したもの ( 依存グラフ ) である。一般に単一のタスクを複数のサブタスクに分割した場合、それらのサブタスク間には実行順序に関する依存関係が生じる場合がある。例えば、本実施形態では、T a s k 0 [ 0 ] で計算した結果を、T a s k 0 [ 2 ] で参照するので、装置は、T a s k 0 [ 0 ] を T a s k 0 [ 2 ] より先に実行する必要がある。

## 【 0 0 3 5 】

図 4 は、候補作成部 1 3 の構成を示すブロック図である。同図を参照すると、候補作成部 1 3 は、タスク構成候補作成部 1 3 1 および代表化部 1 3 3 を有する。タスク候補作成部 1 3 1 は、依存関係を満たすように、全てのサブタスクを複数のコアで並列実行するスケジュールの候補 ( 以下「タスク構成候補」という ) を作成する。

## 【 0 0 3 6 】

例えば、本実施形態では、タスク構成候補作成部 1 3 1 は、2 つのコア 0、コア 1 で、T a s k 0 [ 0 ] が T a s k 0 [ 2 ] より先に実行されるように、T a s k 0 [ 0 ]、T a s k 0 [ 1 ]、および T a s k 0 [ 2 ] を実行するスケジュール ( タスク構成候補 ) を作成する。

## 【 0 0 3 7 】

図 5 ( a )、( b )、および ( c ) は、作成されたタスク構成候補の一例である。同図 ( a ) に示すタスク構成候補 a 1 は、コア 0 で、T a s k 0 [ 1 ]、T a s k 0 [ 2 ] の順でサブタスクを実行し、コア 1 で T a s k 0 [ 0 ] を実行するスケジュールである。同図 ( b ) に示すタスク構成候補 a 2 は、コア 0 で、T a s k 0 [ 0 ]、T a s k 0 [ 1 ] の順でサブタスクを実行し、T a s k 0 [ 0 ] の実行後、コア 1 で T a s k 0 [ 2 ] を実行するスケジュールである。同図 ( c ) に示すタスク構成候補 a 3 は、コア 0 で、T a s k 0 [ 0 ]、T a s k 0 [ 2 ] の順でサブタスクを実行し、コア 1 で T a s k 0 [ 1 ] を実行するスケジュールである。

## 【 0 0 3 8 】

代表化部 1 3 3 は、図 6 ( a )、( b )、および ( c ) に示すように、各タスク構成候補について代表化を行う。同図 ( a )、( b )、および ( c ) は、サブタスク構成候補 a 1、a 2、および a 3 を、代表化した候補の構成を示す図である。代表化とは、タスク構成候補について、これ以降の処理において不要となるサブタスクの構成を隠蔽することである。

## 【 0 0 3 9 】

具体的には、代表化部 1 3 3 は、図 7 に示すように、タスク構成候補ごとに、各コアの「実行時間」 ( 代表値 ) およびオフセット ( 代表値 ) を記載したテーブルを作成する。「実行時間」は、コアごとの、サブタスクの処理に要する時間の最大値 ( 最大実行時間 ) である。オフセットは、あるコアでサブタスクの実行が開始されたときから、他のコアでサブタスクの実行が開始されるまでの時間である。

## 【 0 0 4 0 】

例えば、タスク構成候補 a 1 では、コア 0 において、T a s k 0 [ 1 ]、T a s k 0 [ 2 ] の順でサブタスクが実行され、コア 0 で T a s k 0 [ 1 ] が開始されたときと同時に T a s k 0 [ 0 ] が開始される。T a s k 0 [ 0 ]、T a s k 0 [ 1 ]、および T a s k 0 [ 2 ] の最大実行時間は、それぞれ 2 0 ミリ秒、3 5 ミリ秒、2 5 ミリ秒なので、コア 0 の「実行時間」は、6 0 ミリ秒、コア 1 の「実行時間」は 2 0 ミリ秒、オフセットは 0 ミリ秒となる。

## 【 0 0 4 1 】

タスク構成候補 a 2 では、コア 0 において、T a s k 0 [ 0 ]、T a s k 0 [ 1 ] の順でサブタスクが実行され、コア 0 で T a s k 0 [ 0 ] が開始されたときから 3 0 ミリ秒後に T a s k 0 [ 2 ] が開始される。この場合、コア 0 の最大実行時間は、5 5 ミリ秒、コア 1 の「実行時間」は 2 5 ミリ秒、オフセットは 3 0 ミリ秒となる。また、タスク構成候補 a 3 では、コア 0 の「実行時間」は、4 5 ミリ秒、コア 1 の「実行時間」は 3 5 ミリ秒、オフセットは 0 ミリ秒となる。

10

20

30

40

50



## 【 0 0 4 2 】

スケジューリング実行部 15 は、タスク構成候補ごとに、サブタスクと、シングル実行タスクとを、自動最適化システム上などで仮想的に実行し、それぞれのスケジューリング結果をスケジュール候補とする。スケジューリング実行部 15 は、実行周期の異なるタスクについては、それぞれの実行周期の最小公倍数の時間だけスケジュールを実行する。最小公倍数の時間より長い時間のスケジューリングを行っても、一般に最小公倍数以内の期間におけるスケジュールが繰り返されることになり、無駄が多い。また、最小公倍数の時間の時間だけ仮想的にスケジューリングを行うことにより、スケジュール決定装置 1 は、発生しうるスケジューリングの影響全てを網羅することができる。

## 【 0 0 4 3 】

例えば、本実施形態では、T a s k 0 の実行周期が 8 0 ミリ秒、T a s k 1 の実行周期が 2 0 0 ミリ秒であるから、少なくとも、それらの最小公倍数である 4 0 0 ミリ秒間のスケジュールを作成する。

## 【 0 0 4 4 】

図 8 ( a ) ~ ( j ) は、仮想的に実行されたスケジューリング結果を示す図である。これらの図において、横軸方向のバーの長さがタスク ( サブタスク ) の実行時間を表わしている。

## 【 0 0 4 5 】

図 8 ( a ) は、タスク構成候補 a 1 における、サブタスクの実行スケジュールを示す図である。コア 0 の実行時間は 6 0 ミリ秒 ( 斜線部 )、コア 1 の実行時間は 2 0 ミリ秒 ( 斜線部 )、オフセットは 0 ミリ秒であり、このスケジュールが 8 0 ミリ秒ごとに実行される。

## 【 0 0 4 6 】

図 8 ( b ) は、タスク構成候補 a 1 実行時の、シングル実行タスク ( T a s k 1 ) の実行スケジュールを示す図である。同図 ( b ) に示すように、サブタスクの合間のコア 1 が空いている期間に、そのコアでシングル実行タスクが実行される。

## 【 0 0 4 7 】

図 8 ( c ) は、タスク構成候補 a 1 についての、サブタスクおよびシングル実行タスクのスケジュール結果を示す図である。

## 【 0 0 4 8 】

図 8 ( d ) は、タスク構成候補 a 2 における、サブタスクの実行スケジュールを示す図である。同図 ( e ) は、タスク構成候補 a 2 実行時の、シングル実行タスク ( T a s k 1 ) の実行スケジュールを示す図である。同図 ( f ) は、タスク構成候補 a 2 についての、サブタスクおよびシングル実行タスクのスケジュール結果を示す図である。

## 【 0 0 4 9 】

図 8 ( g ) は、タスク構成候補 a 3 における、サブタスクの実行スケジュールを示す図である。同図 ( h ) は、タスク構成候補 a 3 実行時の、シングル実行タスク ( T a s k 1 ) の実行スケジュールを示す図である。同図 ( i ) は、タスク構成候補 a 3 についての、サブタスクおよびシングル実行タスクのスケジュール結果を示す図である。

## 【 0 0 5 0 】

有効度スコア算出部 17 は、スケジューリング候補ごとに有効度スコアを算出する。有効度スコアは、開発対象のシステム要件に対して、そのスケジュール ( スケジューリング候補 ) が適合している度合を示す値であり、例えば、下記 ( 1 ) 式により算出される。

## 【 0 0 5 1 】

( タスク構成候補の有効度スコア ) = k 1 × ( T a s k 0 の有効度スコア ) + k 2 × ( T a s k 1 の有効度スコア ) ・ ・ ・ ( 1 )

上記 ( 1 ) において、k 1、k 2 は、重みづけのための係数である。この ( 1 ) 式における各タスクの有効度スコアは、下記 ( 2 ) 式により算出される。

## 【 0 0 5 2 】

( 各タスクの有効度スコア ) = k 3 × ( 余裕度平均 ) + k 4 × ( 中断時間平均 ) / ( 実

10

20

30

40

50

行周期) + k5 × (ジッタ平均) / (実行周期) . . . (2)

上記(2)式において、k3、k4、およびk5は、重みづけのための係数である。「余裕度平均」は、例えば、下記(3)式により各実行周期について算出された余裕度の平均値である。「中断時間平均」は、各実行周期においてタスクが中断した時間の平均値である。「ジッタ平均」は、各実行周期において、周期の開始時間から、タスクが開始されるまでの遅延時間の平均値である。

【0053】

(余裕度) = {(実行周期) (タスク完了時間)} / (実行周期) . . . (3)

上記(3)式において、「タスク完了時間」は、周期の開始時期からタスクの全ての処理が完了する時期までの時間である。並列実行タスク(Task0)については、全てのサブタスクが完了する時期までの時間である。

10

【0054】

図9に各タスク構成候補について算出された、余裕度平均、中断時間平均、ジッタ平均、および有効度スコアを示す。有効度スコアは、全ての重みづけ係数(k1~k5)を1としたときの値である。同図を参照すると、タスク構成候補a1、a2、およびa3の有効度スコアとして「0.75」、「0.92」、および「1.05」が算出されている。

【0055】

図10は、候補決定部19の構成を示すブロック図である。同図を参照すると、候補決定部19は、有効度スコア比較部191および保持部193を有する。有効度スコア比較部191は、各タスク構成候補の有効度スコアを比較する。保持部193は9、最も高い有効度スコアのタスク構成候補を保持する。スケジュール決定装置1は、保持部193に保持されたタスク構成候補を最適の候補として出力する。

20

【0056】

図11~図15を参照して、スケジュール決定装置の動作について説明する。図11は、スケジュール決定装置1の動作を示すフローチャートである。同図を参照すると、依存関係取得部11が、依存関係取得処理を実行し(ステップS1)、候補作成部13が、候補作成処理を実行する(ステップS3)。そして、スケジューリング実行部15が、代表化されたタスク構成候補ごとに、スケジューリングを実行する(ステップS4)。有効度スコア算出部17は、スケジュール候補ごとに、有効度スコアを算出する(ステップS5)。候補決定部19は候補決定処理を実行する(ステップS9)。ステップS9の後、スケジュール決定装置1は動作を終了する。

30

【0057】

図12は、依存関係取得処理を示すフローチャートである。同図を参照すると、依存関係取得部11は、並列実行タスクを複数のサブタスクに分割し(ステップS11)、依存グラフを作成することにより、サブタスク間の依存関係を求める(ステップS13)。ステップS13の後、依存関係取得部11は、依存関係取得処理を終了する。

【0058】

図13は、候補作成処理を示すフローチャートである。同図を参照すると、候補作成部13は、依存関係を満たすように、タスク構成候補を作成し(ステップS31)、作成したタスク構成候補について代表化を行う(ステップS35)。ステップS35の後、候補作成部13は、候補作成処理を終了する。

40

【0059】

図14は、候補決定処理を示すフローチャートである。同図を参照すると、候補決定部19は、いずれかのタスク構成候補を選択し、その候補が1回目を選択した候補であるか否かを判断する(ステップS91)。

【0060】

1回目を選択した候補でなければ(ステップS91:NO)、候補決定部19は、選択した候補について、これまでの候補より高い有効度スコアが算出された候補であるか否かを判断する(ステップS93)。

【0061】

50

これまでの候補より高い有効度スコアが算出された候補である場合（ステップ S 9 3 : Y E S）、または 1 回目に選択した候補である場合（ステップ S 9 1 : Y E S）、候補決定部 1 9 は、そのタスク構成候補のスケジュール構成と、算出された有効度スコアとを保持する（ステップ S 9 5）。

【 0 0 6 2 】

これまでの候補より高い有効度スコアが算出された候補でない場合（ステップ S 9 3 : N O）、またはステップ S 9 5 の後、候補決定部 1 9 は、全ての候補を選択して、有効度スコアを比較したか否かを判断する（ステップ S 9 7）。全ての候補について比較していなければ（ステップ S 9 7 : N O）、候補決定部 1 9 は、ステップ S 9 1 に戻る。全ての候補について比較したならば（ステップ S 9 7 : Y E S）、候補決定部 1 9 は、候補決定

10

【 0 0 6 3 】

なお、本実施形態では、スケジュール決定装置 1 は、1 つの並列実行タスク（T a s k 0）と、1 つのシングル実行タスク（T a s k 1）とを、スケジューリングの対象としているが、シングル実行タスクを含まない複数の並列実行タスクをスケジューリングの対象としてもよい。また、スケジュール決定装置 1 は、1 つの並列実行タスクと複数のシングル実行タスクとをスケジューリングの対象とすることもできるし、複数の並列実行タスクと、1 以上のシングル実行タスクとをスケジューリングの対象とすることもできる。

【 0 0 6 4 】

本実施形態では、スケジューリング決定装置 1 は、実行周期の異なるタスクをスケジューリングの対象としているが、実行周期が同一の複数のタスクについてスケジューリングを行ってもよい。

20

【 0 0 6 5 】

ここで、複数の並列実行タスクについて、スケジューリング候補を求める場合、あるタスクのサブタスクについての形状が同じであっても、他のタスクのサブタスクについての形状が異なるときは、別の候補とする。例えば、あるタスクのサブタスクの形状が A、B で、別のタスクのサブタスクの形状が a、b である場合、スケジュール決定装置 1 は、A および a の組み合わせと、A および b の組み合わせとは別の候補として扱う。

【 0 0 6 6 】

また、本実施形態では、スケジュール決定装置 1 は、2 つのコアで、タスクを並列実行するスケジュールを作成しているが、3 つ以上のコアで並列実行するスケジュールを作成してもよいのは勿論である。

30

【 0 0 6 7 】

本実施形態では、並列実行タスクの分割をスケジュール決定装置自身が行う構成としているが、タスク分割は他の装置が行い、スケジュール決定装置 1 は、既に分割されたサブタスクをその装置から取得する構成としてもよい。

【 0 0 6 8 】

本実施形態では、スケジュール決定装置 1 は、図 7 に示したように、スケジューリングの結果を示すテーブルを作成しているが、タスク構成候補ごとの、各コアでのサブタスクの実行期間を示す情報が含まれるのであれば、テーブル以外の形式で、スケジューリングの結果を出力してもよい。

40

【 0 0 6 9 】

本実施形態では、テーブルにおいて、各コアの実行時間およびオフセットを記載しているが、それぞれのコアでのサブタスクの実行開始時間（代表値）と、実行終了時間（代表値）とを記載してもよい。

【 0 0 7 0 】

本実施形態では、スケジュール決定装置 1 は、上記（1）式、（2）式、および（3）式を使用して、有効度スコアを算出しているが、余裕度、中断時間、およびジッタのうち、少なくとも 1 以上の値に基づいて有効度スコアを算出できるのであれば、他の式を使用してもよい。

50

## 【 0 0 7 1 】

本実施形態では、スケジュール決定装置 1 は、有効度スコアが最大の候補を最適の候補に決定しているが、有効度スコアが所定の閾値以上を最適の候補とするなど、他の方法で、最適の候補を決定してもよい。

## 【 0 0 7 2 】

以上説明したように、本実施形態によれば、スケジュール決定装置 1 は、並列実行タスク（第 1 のタスク）から分割されたサブタスクを、依存関係を満たすように、複数のコア（処理装置）に配置して複数のタスク構成候補（サブタスク構成候補）を作成し、候補ごとに、シングル実行タスク（第 2 のタスク）を配置した場合におけるスケジューリング候補を作成し、各スケジューリング候補の有効度に基づいてスケジュールを決定する。サブタスクを配置した後に、その合間に第 2 のタスクを配置するので、第 2 のタスクにより並列に実行する第 1 のタスクが待たされて、スケジュール全体が実行不能となることが少なくなる。また、スケジュール決定装置は、スケジューリング候補ごとに有効度を算出するので、有効度に基づいて最適のスケジューリング候補を求めることにより、スケジュールを最適化できる。

10

## 【 0 0 7 3 】

候補作成部 1 3 は、コア（処理装置）ごとに、それぞれのサブタスクを実行する期間を定めたテーブルを前記候補として作成するので、作成したスケジュールを出力するとき、スケジュール構成を 2 次元形状にするなど、可視化しやすい。

## 【 0 0 7 4 】

スケジューリング実行部 1 5 は、各タスクの実行周期（第 1 の周期および第 2 の周期）の最小公倍数の期間だけスケジューリングするので、発生しうる、そのスケジューリングの影響全てを網羅することができ、スケジューリング処理に無駄がなくなる。

20

## 【 0 0 7 5 】

スケジュール決定装置 1 は、余裕度に基づいて有効度スコアを算出するので、デッドラインまでに余裕のあるスケジュールを作成できる。

## 【 0 0 7 6 】

スケジュール決定装置 1 は、タスクの中断時間に基づいて有効度スコアを算出するので、タスクがなるべく中断しないようにスケジュールを作成できる。

## 【 0 0 7 7 】

スケジュール決定装置 1 は、ジッタ（遅延時間）に基づいて有効度スコアを算出するので、遅延が少ないスケジュールを作成できる。

30

## 【 0 0 7 8 】

スケジュール決定装置 1 は、有効度スコアが最大の候補を最適の候補とするので、簡易な方法で 1 つの候補に決定できる。

## 【 0 0 7 9 】

（第 2 の実施形態）

本実施形態の第 2 の実施形態について、図 1 5 ~ 図 2 0 を参照して説明する。本実施形態のスケジュール決定装置は、候補作成処理をより効率的に行う以外は、第 1 の実施形態のスケジュール決定装置の構成と同様である。

40

## 【 0 0 8 0 】

図 1 5 は、本実施形態の候補作成処理を示すフローチャートである。同図を参照すると、候補作成部 1 3 は、タスク構成候補を作成した後（ステップ S 3 1）、シングルコアで実行するときの最大実行時間以上の最大実行時間となる候補を除外（破棄）する（ステップ S 3 2）。本実施形態では、タスクの最大実行時間をシングルコアで実行する場合よりも短くする目的で、並列化を行うためである。

## 【 0 0 8 1 】

そして、候補作成部 1 3 は、並列実行タスクが中断する候補を破棄する（ステップ S 3 3）。本実施形態では、サブタスク間の依存関係の制約で、並列実行タスク（Task 0）中断中に、他のタスク（Task 1）を実行することが困難であるためである。

50

## 【 0 0 8 2 】

候補作成部 1 3 は、コアを入れ替えると同じ構成となる候補も破棄する（ステップ S 3 4）。本実施形態では、コア 0 とコア 1 が同じ種類の処理装置であるからである。ステップ S 3 4 の後は、スケジュール決定装置 1 はステップ S 3 5 を実行する。

## 【 0 0 8 3 】

次に、図 1 6 ~ 図 2 0 を参照して、本実施形態のスケジュール決定装置 1 の動作例について説明する。図 1 6 ( a ) に示すように、最大実行時間が 1 0 1 マイクロ秒の T a s k 2 をスケジューリングの対象とする場合について考える。

## 【 0 0 8 4 】

図 1 6 ( b ) に示すように、スケジュール決定装置 1 は、この T a s k 2 を、2 0 マイクロ秒、4 1 マイクロ秒、2 2 マイクロ秒、7 マイクロ秒、および 1 1 マイクロ秒の複数のサブタスク ( T a s k 2 [ 0 ]、T a s k 2 [ 1 ]、T a s k 2 [ 3 ]、および T a s k 2 [ 4 ] ) に分割する。

## 【 0 0 8 5 】

スケジュール決定装置 1 は、図 1 6 ( c ) に示すように、サブタスク間の依存関係を求める。本実施形態では、T a s k 2 [ 0 ] の次に、T a s k 2 [ 1 ]、T a s k 2 [ 2 ]、および T a s k 2 [ 3 ] を実行し、T a s k 2 [ 3 ] の次に、T a s k 2 [ 4 ] を実行する必要がある。

## 【 0 0 8 6 】

スケジュール決定装置 1 は、図 1 7 ( a ) ~ ( h ) および図 1 8 ( a ) ~ ( h ) に示すように、依存関係を満たしたタスク構成候補 1 1 ~ 2 6 を作成する。そして、スケジュール決定装置 1 は、図 1 9 に示すように、スケジューリングの結果を示すテーブルを作成する。

## 【 0 0 8 7 】

図 1 7 ( e ) に示す候補 1 5 では、コア 0 で T a s k 2 [ 0 ]、T a s k 2 [ 1 ]、T a s k 2 [ 2 ]、T a s k 2 [ 3 ] の順でサブタスクが実行され、T a s k 2 [ 3 ] が完了したとき、コア 1 で T a s k 2 [ 4 ] が開始される。この結果、並列実行した場合の T a s k 2 の最大実行時間 ( 1 0 1 マイクロ秒 ) が、シングルコアで実行した場合の最大実行時間 ( 1 0 1 マイクロ秒 ) と変わらないので、スケジュール決定装置 1 は、この候補 1 5 を破棄する ( ステップ S 3 2 )。同様の理由で図 1 8 ( h ) に示す候補 2 6 も破棄される。

## 【 0 0 8 8 】

図 1 7 ( g ) に示す候補 1 7 では、コア 0 で T a s k 2 [ 0 ] が完了したとき、コア 0 で T a s k 2 [ 2 ] が、コア 1 で T a s k 2 [ 1 ] および T a s k 2 [ 3 ] が開始される。そして、T a s k 2 [ 3 ] が完了したとき、コア 0 で T a s k 2 [ 4 ] が開始される。T a s k 2 [ 2 ] の最大実行時間 ( 2 2 マイクロ秒 ) は、T a s k 2 [ 1 ] の最大実行時間 ( 4 1 マイクロ秒 ) より短いので、コア 0 において、T a s k 2 が中断する。従って、スケジュール決定装置 1 は、この候補 1 7 を破棄する ( ステップ S 3 3 )。同様の理由で図 1 8 ( b ) および ( d ) に示す候補 2 0 および 2 2 も破棄される。

## 【 0 0 8 9 】

図 2 0 ( a ) および ( b ) は、コアを入れ替えると同じ構成になる候補の一例を示す図である。同図 ( a ) に示す候補 3 1 では、コア 0 で、T a s k 3 [ 0 ] および T a s k 4 [ 0 ] が、コア 1 で T a s k 3 [ 1 ] および T a s k 4 [ 1 ] が、コア 2 で T a s k 4 [ 2 ] が実行される。同図 ( b ) に示す候補 3 2 では、コア 0 で、T a s k 3 [ 1 ] および T a s k 4 [ 1 ] が、コア 1 で T a s k 3 [ 0 ] および T a s k 4 [ 0 ] が、コア 2 で T a s k 4 [ 2 ] が実行される。そして、これらのコア 0、コア 1 での処理を入れ替えると、同じ構成となるので、スケジュール決定装置 1 は、候補 3 1 および候補 3 2 のうち、いずれかを破棄する ( ステップ S 3 4 )。

## 【 0 0 9 0 】

以上説明したように、本実施形態によれば、スケジュール決定装置 1 は、シングルコアで実行する場合の最大実行時間以上の候補を除外するので、並列化により実行時間が短く

10

20

30

40

50

なるスケジュールのみを作成できる。

【0091】

また、スケジュール決定装置1は、タスクが中断する候補を除外するので、並列実行タスク中断中に他のタスクが実行されることを防止できる。

【0092】

スケジュール決定装置1は、コアを入れ替えると同じ形状になる候補を除外するので、同じ種類のコアを複数有するシステムについてのスケジュールを作成する場合、無駄な処理を省くことができる。

【0093】

(第3の実施形態)

本発明の第3の実施形態について、図21～図33を参照して説明する。図21は、本実施形態の候補作成部13の構成を示すブロック図である。同図を参照すると、本実施形態のスケジュール決定装置1は、候補操作部13において、更に重ね合わせ代表化部135を有する以外は、第1の実施形態のスケジュール決定装置1と同様の構成である。

【0094】

タスク構成候補作成部131は、依存関係を満たすように、タスク構成候補を作成し、タスクが途中で中断する候補は除外する。代表化部133は、各タスク構成候補について代表化を行う。重ね合わせの方法の詳細については、後述する。

【0095】

重ね合わせ代表化部135は、タスク構成候補を所定の基準で複数のグループに分類し、各グループに属する候補を重ね合わせる。そして、重ね合わせ代表化部135は、重ね合わせた候補について代表化を行う。

【0096】

グループの分類は、例えば、スケジュール決定装置1は、あるコアの最大実行時間に応じた順番で、タスク構成候補を整列し、各グループに属する候補の数がほぼ等しくなるように分類する方法を使用する。

【0097】

又は、スケジュール決定装置1は、あるコアの最大実行時間に応じた順番で、タスク構成候補を整列し、グループがカバーする候補の、そのコアについての最大実行時間がほぼ均等になるように、分類する方法を使用する。

【0098】

或いは、スケジュール決定装置1は、あるコアでの最大実行時間に応じた順番で、タスク構成候補を整列し、隣接する候補間の最大実行時間の差分を算出する。そして、スケジュール決定装置1は、区切りが所定値以上大きくなる箇所にて区切ることにより、複数のグループに分類する方法を使用する。

【0099】

乃至は、スケジュール決定装置1は、グループ内のオフセットが所定範囲内になるように、候補を分類する方法を使用する。スケジュール決定装置1は、候補数、最大実行時間の範囲、差分、およびオフセットを使用する方法のうち、いずれか2つ以上の方法を組み合わせて、候補を分類することもできる。

【0100】

スケジュールリング実行部15は、重ね合わせた候補について、スケジュールを実行し、有効度スコア算出部17は、重ね合わせた各スケジュール候補について有効度スコアを算出する。そして、スケジュールリング実行部15は、有効度スコアの最も高い重ね合わせ候補に属するタスク構成候補それぞれについてスケジュールリングを実行し、有効度スコア算出部17は、各スケジュールリング候補について有効度スコアを算出する。

【0101】

図22を参照して、重ね合わせの方法について説明する。図22(a)～(e)は、重ね合わせ方法を説明するための図である。

【0102】

10

20

30

40

50

重ね合わせの方法について詳細に説明する。重ね合わせ代表化部 135 は、グループ内のタスク構成候補のうち、いずれか 2 つのタスク構成候補を選択する。そして、重ね合わせ代表化部 135 は、それらのタスク構成候補を比較し、一方のタスク構成候補の実行期間のうち、他方の候補の実行期間と一致しない期間を、その他方のタスク構成候補に追加する（重ね合わせる）。重ね合わせ代表化部 135 は、一致しない期間を追加したタスク構成候補と、比較していない他の全てのタスク構成候補とを比較し、一致しない期間があれば、更に追加していく。

【0103】

例えば、図 22 (a)、(b)、(d) に示すサブタスク構成候補 14、15、および 21 を重ね合わせる場合について考える。重ね合わせ代表化部 135 は、まず、同図 22 (a) に示すサブタスク構成候補 14 と、同図 (a) に示すサブタスク構成候補 15 とを比較する。重ね合わせ代表化部 135 は、同図 (c) に示すように、サブタスク構成候補 15 の実行期間のうち、候補 14 と一致していない期間を、サブタスク構成候補 14 に追加する（重ね合わせる）。同図 (c) において斜線部分は、追加した部分である。

10

【0104】

次いで、重ね合わせ代表化部 135 は、重ね合わせたサブタスク構成候補と、図 22 (d) に示すサブタスク構成候補 21 とを比較する。重ね合わせ代表化部 135 は、同図 (e) に示すように、サブタスク構成 15 の実行期間のうち、重ね合わせた候補と一致していない期間を、重ね合わせたサブタスク構成候補に追加する。同図 (e) において斜線部分は、追加した部分である。

20

【0105】

図 23 は、本実施形態の候補作成処理を示すフローチャートである。同図を参照すると、タスク構成候補作成部 131 は、タスク構成候補を作成し（ステップ S31）、並列実行タスクが中断する候補を破棄する（ステップ S33）。代表化部 133 は、タスク構成候補について代表化を行う（ステップ S35）。重ね合わせ部 135 は、所定の基準でタスク構成候補を複数のグループに分類し、各グループに属する候補を重ね合わせる。そして重ね合わせた候補について代表化を行い、重ね合わせ候補とする（ステップ S37）。ステップ S35 の後、候補作成部 13 は、候補作成処理を終了する。

【0106】

図 24 は、本実施形態のスケジュール決定装置の動作を示すフローチャートである。同図を参照すると、ステップ S3 の後、スケジューリング実行部 15 は、重ね合わせた候補について、スケジュールを実行し（ステップ 4a）、有効度スコア算出部 17 は、重ね合わせた各スケジュール候補について有効度スコアを算出する（ステップ S5a）。そして、スケジューリング実行部 15 は、有効度スコアの最も高い重ね合わせ候補に属するタスク構成候補それぞれについてスケジューリングを実行し（ステップ S6）、有効度スコア算出部 17 は、各スケジュール候補について有効度スコアを算出する（ステップ S7）。

30

【0107】

図 25 ~ 図 27 を参照して、本実施形態のスケジュール決定装置 1 の動作結果の第 1 の例について説明する。

40

【0108】

図 25 は、グループに属する候補数が均等となるようにタスク構成候補を分類した結果の一例を示す図である。同図は、図 19 に示したスケジュール結果から、タスクが途中で中断される候補のみを除外したものである。同図を参照すると、重ね合わせ代表化部 135 は、スケジューリングの結果をコア 0 での最大実行時間に応じた順番で整列している。そして、重ね合わせ代表化部 135 は、各グループに属する候補数が均等になるように、候補を分類する。例えば、各グループの候補数が 3 つになるように分類する。この結果、候補 14、15、および 21 は、同じグループ (A) に属することになる。

【0109】

図 26 は、グループに属する候補の実行時間の範囲が所定値内となるようにタスク構成

50

候補を分類した結果の一例を示す図である。同図を参照すると、重ね合わせ代表化部 1 3 5 は、コア 0 の最大実行時間が、1 0 0 マイクロ秒未満、7 5 マイクロ秒以上のグループ ( A )、7 5 マイクロ秒未満、6 0 マイクロ秒以上のグループ ( B )、6 0 マイクロ秒未満、4 0 マイクロ秒以上のグループ ( C )、4 0 マイクロ秒未満のグループ ( D ) に各候補を分類している。

【 0 1 1 0 】

図 2 7 は、整列後、隣接する候補の最大実行時間の差分が所定値以上となる箇所で区切った結果の一例を示す図である。同図を参照すると、重ね合わせ代表化部 1 3 5 は、隣接する候補の差分が 1 0 マイクロ秒以上となる箇所で区切って、各候補を分類している。

【 0 1 1 1 】

図 2 8 ~ 図 3 3 を参照して、本実施形態のスケジュール決定装置 1 の動作結果の第 2 の例について説明する。

【 0 1 1 2 】

図 2 8 ( a ) に示すように、最大実行時間が 1 0 1 マイクロ秒の T a s k 5 をスケジューリングの対象とする場合について考える。同図 ( b ) に示すように、スケジュール決定装置 1 は、この T a s k 5 を、2 0 マイクロ秒、4 1 マイクロ秒、2 2 マイクロ秒、7 マイクロ秒、および 1 1 マイクロ秒の複数のサブタスク ( T a s k 5 [ 0 ]、T a s k 5 [ 1 ]、T a s k 2 [ 3 ]、および T a s k 5 [ 4 ] ) に分割する。

【 0 1 1 3 】

そして、スケジュール決定装置 1 は、図 2 8 ( c ) に示すように、サブタスク間の依存関係を求める。本実施形態では、T a s k 5 [ 0 ] の次に、T a s k 2 [ 1 ] および T a s k 2 [ 2 ] を実行し、T a s k 2 [ 2 ] の次に T a s k 2 [ 3 ] および T a s k 2 [ 4 ] を実行する必要がある。

【 0 1 1 4 】

スケジュール決定装置 1 は、図 2 9 ( a ) ~ ( h ) および図 3 0 ( a ) ~ ( h ) に示すように、依存関係を満たしたタスク構成候補 4 1 ~ 5 6 を作成する。

【 0 1 1 5 】

そして、スケジュール決定装置 1 は、図 3 1 に示すように、スケジューリングの結果を示すテーブルを作成する。本実施形態では、途中でタスクが中断する候補 ( 4 8、5 2、および 5 3 ) は除外される。

【 0 1 1 6 】

図 3 2 および図 3 3 は、スケジュール決定装置 1 がオフセットおよび実行時間の範囲を使用して候補を分類した結果を示す図である。図 3 2 を参照すると、スケジュール決定装置 1 は、オフセットが 2 0 の候補 ( A、B ) と、オフセットが 8 3 の候補 ( C ) は、異なるグループに分類する。そして、スケジュール決定装置 1 は、図 3 3 に示すように、オフセットが 2 0 の候補を、コア 0 の実行時間が 5 0 マイクロ秒以上のグループ ( A ) と、5 0 マイクロ秒未満のグループ ( B ) とに分ける。

【 0 1 1 7 】

または、スケジュール決定装置 1 は、図 3 3 に示すように、コア 0 での実行時間が 6 0 マイクロ秒以上のグループ ( A ) と、6 0 マイクロ秒未満、4 0 マイクロ秒以上のグループ ( B ) と、4 0 マイクロ秒未満のグループ ( C ) とに分類する。

【 0 1 1 8 】

なお、図 1 1 ~ 図 1 5、図 2 2、および図 2 3 に示したフローチャートの全部または一部は、コンピュータプログラムの実行により実現することもできる。

【 0 1 1 9 】

以上説明したように、本実施形態によれば、タスク構成候補をまとめた重ね合わせ候補を用いて大まかな絞り込みを行い、その中で最適の重ね合わせ候補に属するタスク構成候補ごとに有効度スコアを算出するので、少ない探索量でスケジュールの最適化ができ、高度な自動最適化システムを実現することが可能となる。

【 0 1 2 0 】

10

20

30

40

50



スケジュール決定装置 1 は、候補数、実行時間、差分、およびオフセットのいずれか 1 以上を使用して候補を分類するので、スケジュール決定装置 1 は、簡易な方法で、最適化の効率を上げることができる。

【 0 1 2 1 】

( 第 4 の実施形態 )

本発明の第 4 の実施形態について、図 3 4 を参照して説明する。同図は、本実施形態の並列実行装置 2 の構成を示すブロック図である。同図を参照すると、並列実行装置 2 は、並列実行部 2 1 を更に有する以外は、第 1 の実施形態のスケジュール決定装置 1 と同様の構成である。

【 0 1 2 2 】

並列実行部 2 1 は、候補決定部 1 9 で決定されたスケジュール候補を使用して、実行対象のタスクを複数のコア（不図示）で並列実行する。

【 0 1 2 3 】

なお、本実施形態では、依存関係取得部 1 1、候補作成部 1 3、スケジューリング実行部 1 5、有効度スコア算出部 1 7、および候補決定部 1 9 の構成は、第 1 の実施形態の依存関係取得部 1 1 等と同様の構成としているが、これらは第 2 または第 3 の実施形態の依存関係取得部 1 1 等と同様の構成としてもよい。

【 0 1 2 4 】

以上説明したように、本実施形態によれば、並列実行装置 2 は、最適のスケジュールでタスクを並列実行できるので、効率的にタスクを処理できる。

【 0 1 2 5 】

この出願は、2008 年 1 月 1 4 日に提出された日本出願特願 2008 - 292119 を基礎として優先権の利益を主張するものであり、その開示の全てを引用によってここに取り込む。

【 符号の説明 】

【 0 1 2 6 】

- 1     スケジュール決定装置
- 2     並列実行装置
- 1 1    依存関係取得部
- 1 3    候補作成器
- 1 5    スケジューリング実行部
- 1 7    スコア算出部
- 1 9    候補決定部
- 2 1    並列実行部
- 1 1 1    タスク分割部
- 1 1 3    依存グラフ作成部
- 1 3 1    タスク構成候補作成部
- 1 3 3    代表化部
- 1 3 5    重ね合わせ部
- 1 9 1    有効度スコア比較部
- 1 9 3    保持部
- a 1、a 2、a 3    タスク構成候補
- S 1 ~ S 9、S 1 1、S 1 3、S 3 1 ~ S 3 7、S 9 1 ~ S 9 7、S 4 a、S 5 a、
- ステップ

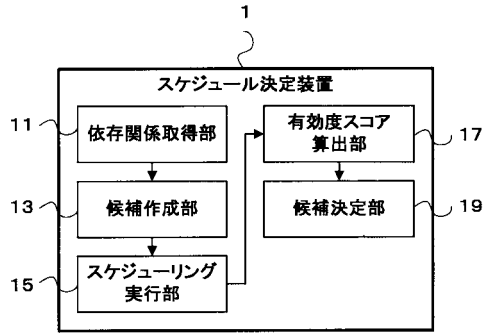
10

20

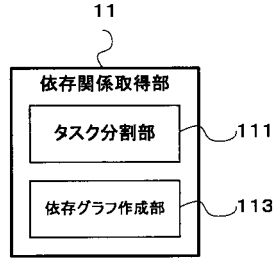
30

40

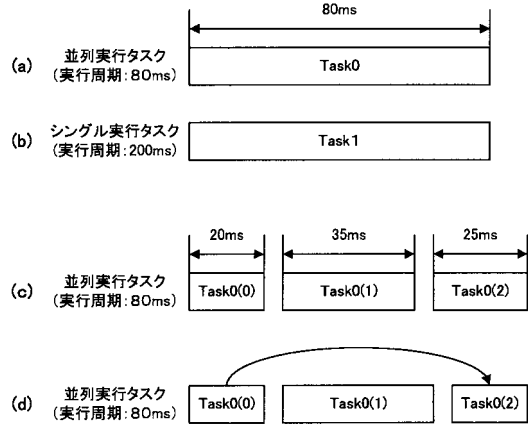
【図1】



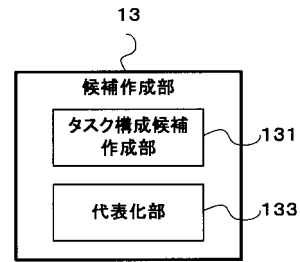
【図2】



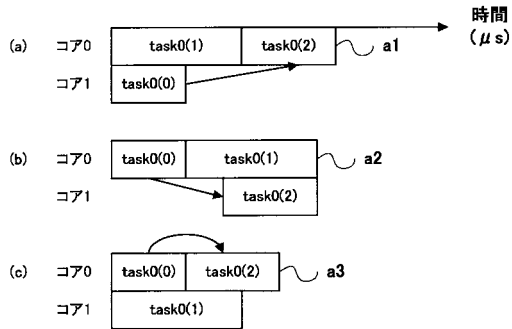
【図3】



【図4】



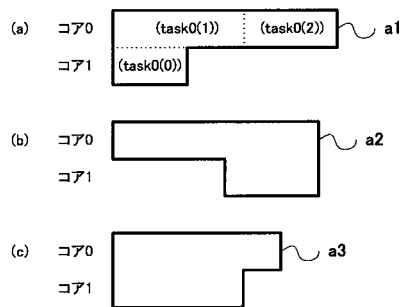
【図5】



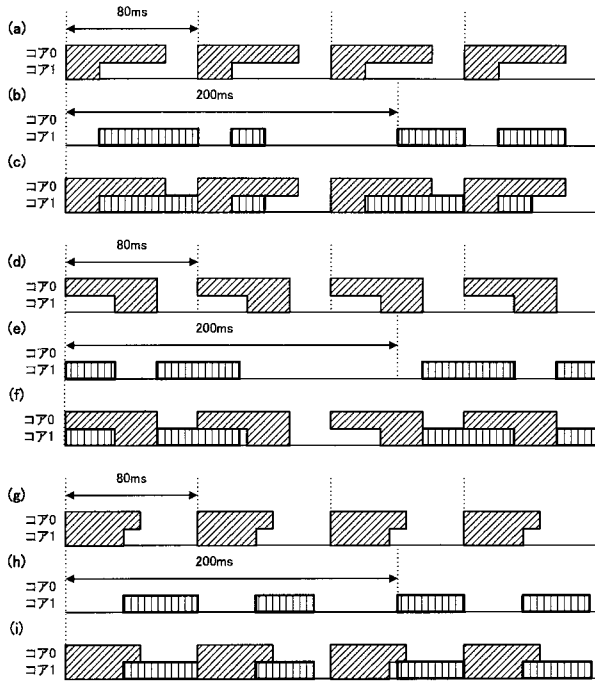
【図7】

タスク構成候補			
候補番号	コア0の実行時間 (ms)	コア1の実行時間 (ms)	オフセット (μs)
a1	60	20	-
a2	55	25	30
a3	45	35	-

【図6】



【図8】

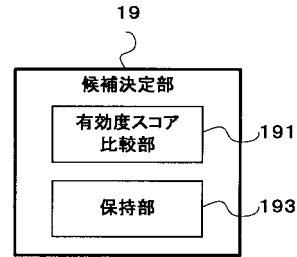


【図9】

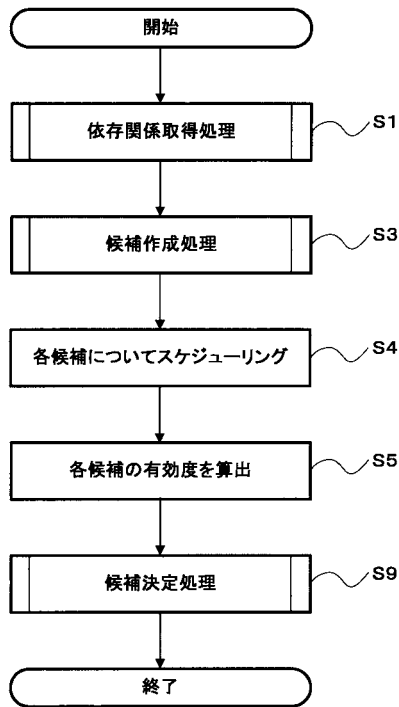
有効度スコアの算出例(算出期間:400ms)

候補番号	タスク種別	余裕度平均	中断時間平均 (ms)	ジッタ平均 (ms)	...	有効度スコア
a1	Task0	0.25	0	0	...	0.75
	Task1	0.35	20	10	...	
a2	Task0	0.32	0	0	...	0.92
	Task1	0.44	25	7.5	...	
a3	Task0	0.44	0	0	...	1.05
	Task1	0.34	35	17.5	...	
...	...	...	...	...	...	...

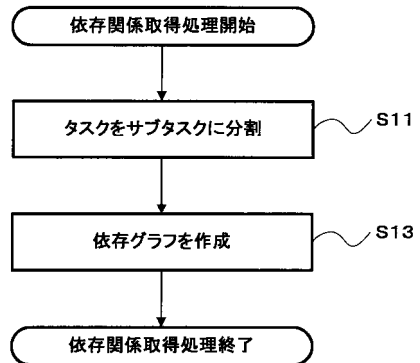
【図10】



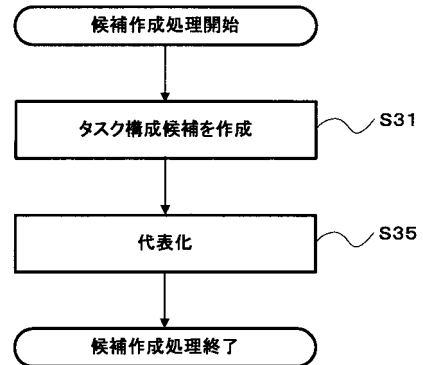
【図11】



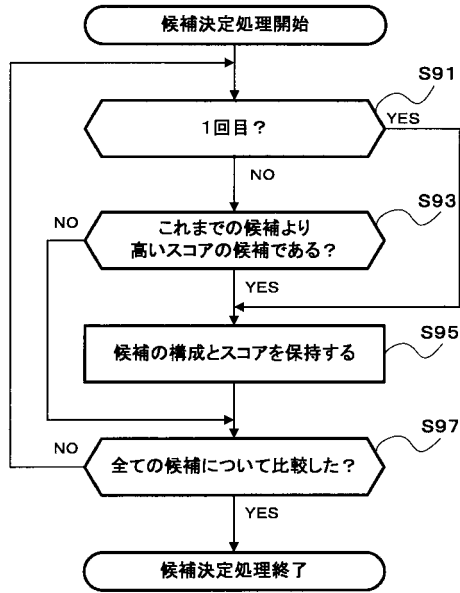
【図12】



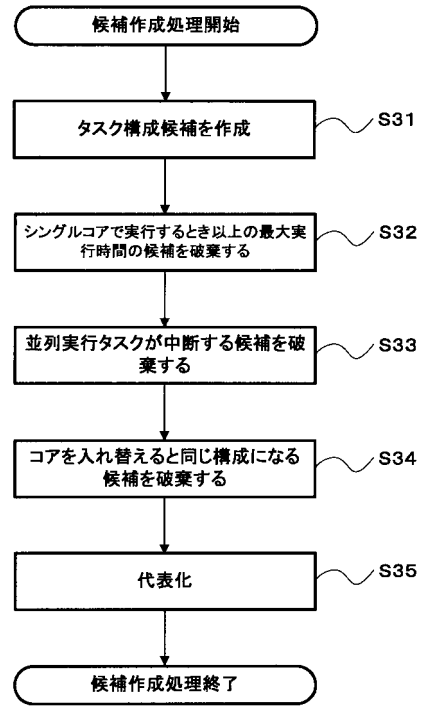
【図13】



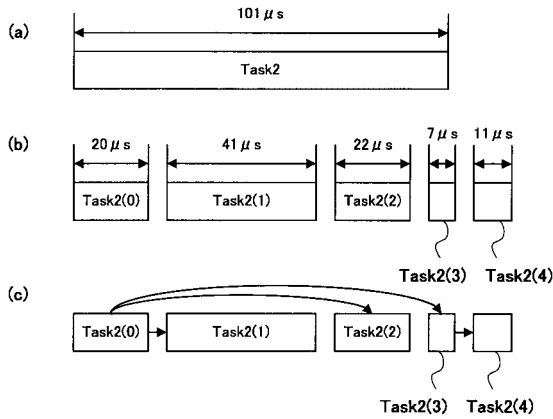
【図14】



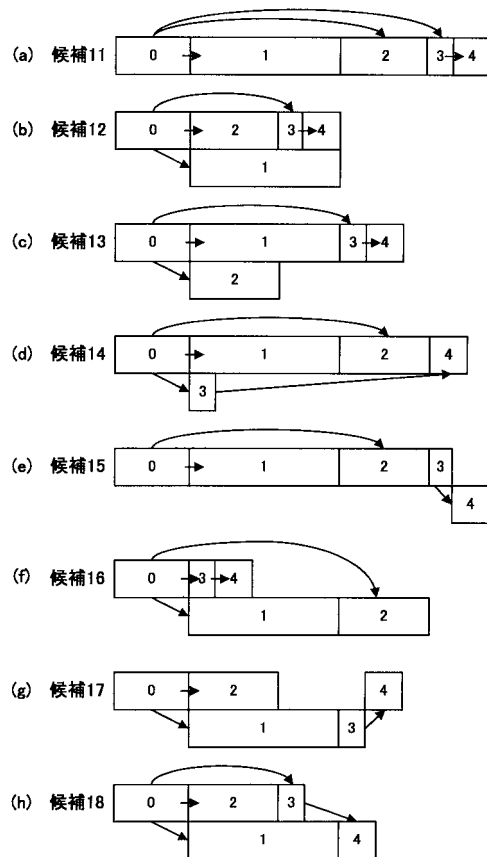
【図15】



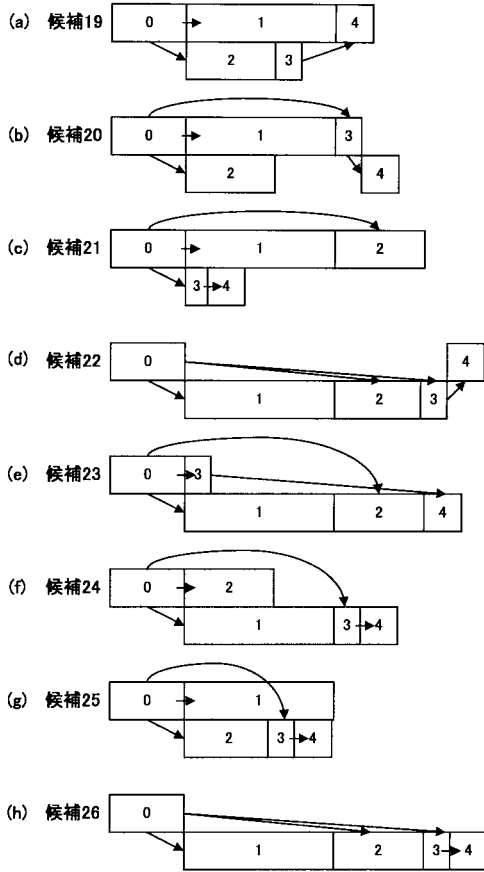
【図16】



【図17】



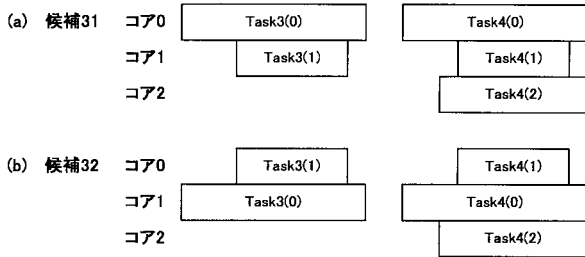
【図18】



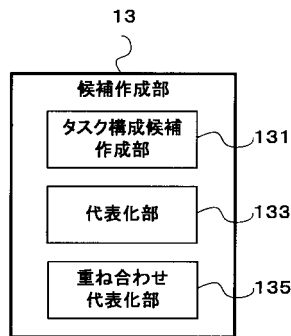
【図19】

スケジューリングの結果			
候補番号	コア0の実行時間 (μs)	コア1の実行時間 (μs)	オフセット (μs)
11	101	0	-
12	60	41	20
13	79	22	20
14	94	7	20
15	90	11	20
16	38	63	20
17	-	-	-
18	49	52	20
19	72	29	20
20	-	-	-
21	83	18	20
22	-	-	-
23	27	74	20
24	42	59	20
25	61	40	20
26	20	81	20

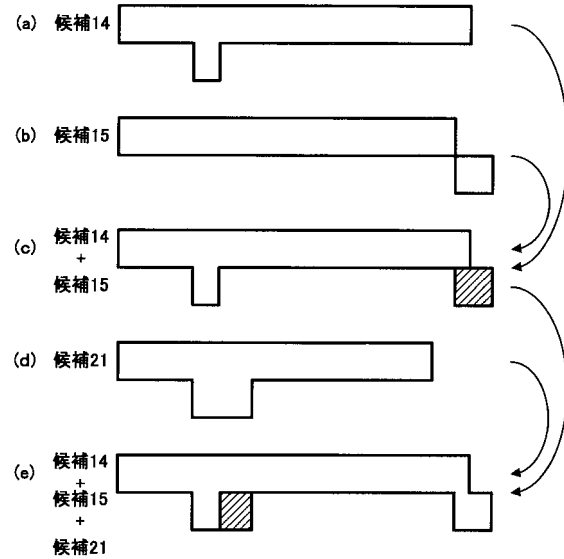
【図20】



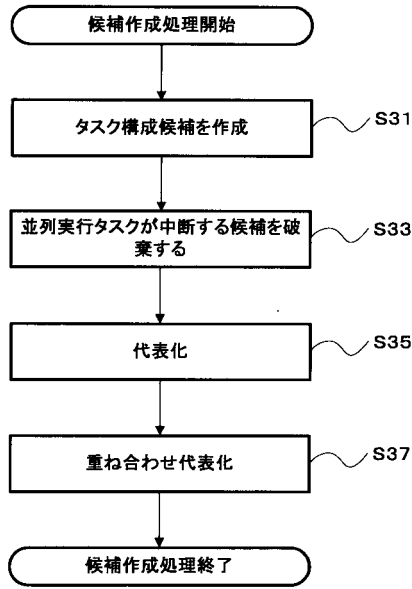
【図21】



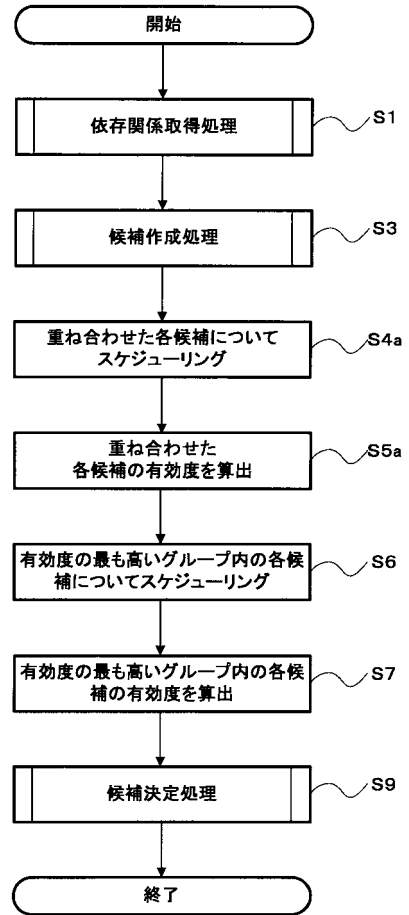
【図22】



【図23】



【図24】



【図25】

スケジューリングの結果(候補数が均等となるように分類)

候補番号	コア0の実行時間(μs)	コア1の実行時間(μs)	オフセット(μs)	グループ
11	101	0	-	-
14	94	7	20	A
15	90	11	20	A
21	83	18	20	A
13	79	22	20	B
19	72	29	20	B
25	61	40	20	B
12	60	41	20	C
18	49	52	20	C
24	42	59	20	C
16	38	63	20	D
23	27	74	20	D
26	20	81	20	D

【図26】

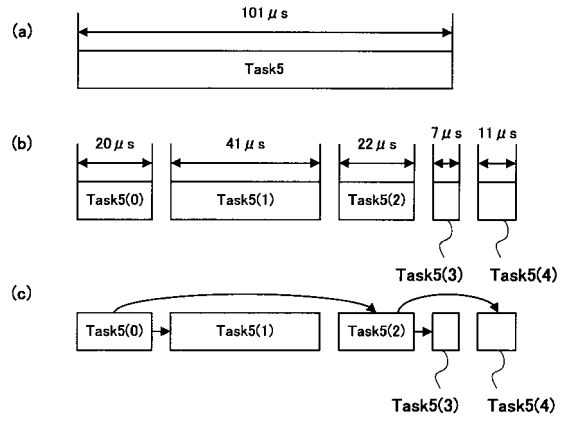
スケジューリングの結果(実行時間の範囲で分類)

候補番号	コア0の実行時間(μs)	コア1の実行時間(μs)	オフセット(μs)	グループ
11	101	0	-	-
14	94	7	20	A
15	90	11	20	A
21	83	18	20	A
13	79	22	20	A
19	72	29	20	B
25	61	40	20	B
12	60	41	20	B
18	49	52	20	C
24	42	59	20	C
16	38	63	20	D
23	27	74	20	D
26	20	81	20	D

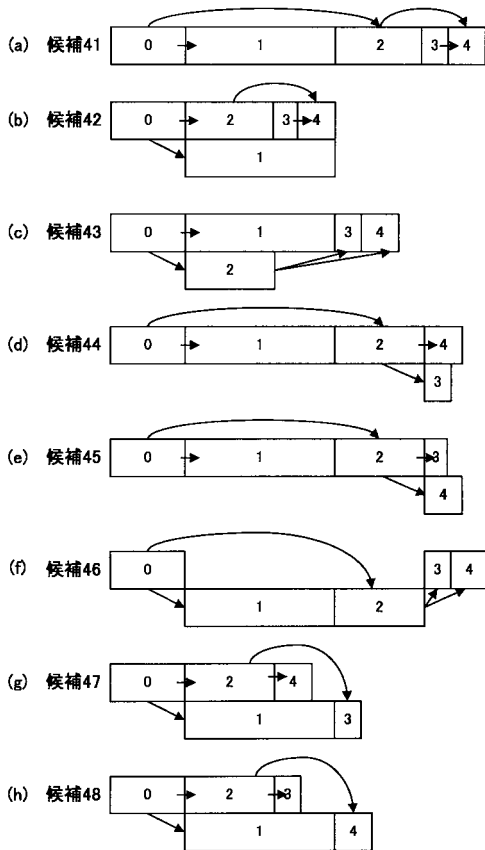
【図 27】

スケジューリングの結果(差が大きい個所で区切る例)					
候補番号	コア0の実行時間(μs)	コア1の実行時間(μs)	オフセット(μs)	差分(μs)	グループ
11	101	0	-	-	-
14	94	7	20	-	A
15	90	11	20	4	A
21	83	18	20	7	A
13	79	22	20	4	A
19	72	29	20	7	A
25	61	40	20	11	B
12	60	41	20	1	B
18	49	52	20	11	C
24	42	59	20	7	C
16	38	63	20	4	C
23	27	74	20	11	D
26	20	81	20	7	D

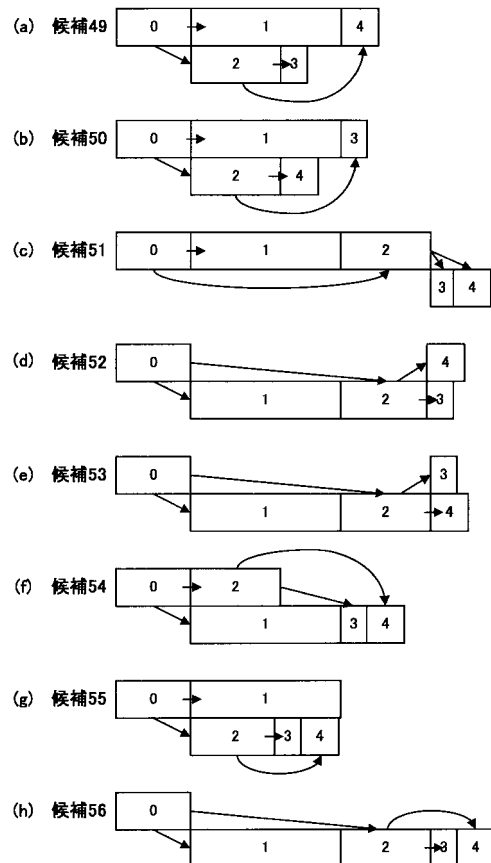
【図 28】



【図 29】



【図 30】



【図31】

スケジューリングの結果			
候補番号	コア0の実行時間 (μs)	コア1の実行時間 (μs)	オフセット (μs)
41	101	0	-
42	60	41	20
43	79	22	20
44	94	7	83
45	90	11	83
46	-	-	-
47	53	48	20
48	49	52	20
49	72	29	20
50	68	33	20
51	83	18	83
52	-	-	-
53	-	-	-
54	42	59	20
55	61	40	20
56	20	81	20

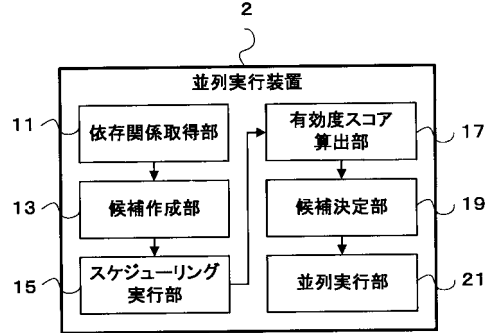
【図32】

スケジューリングの結果 (オフセット及び実行時間の範囲で分類)				
候補番号	コア0の実行時間 (μs)	コア1の実行時間 (μs)	オフセット (μs)	グループ
41	101	0	-	-
43	79	22	20	A
49	72	29	20	A
50	68	33	20	A
55	61	40	20	A
42	60	41	20	A
47	53	48	20	A
48	49	52	20	B
54	42	59	20	B
56	20	81	20	B
44	94	7	83	C
45	90	11	83	C
51	83	18	83	C

【図33】

スケジューリングの結果 (オフセット及び実行時間の範囲で分類)				
候補番号	コア0の実行時間 (μs)	コア1の実行時間 (μs)	オフセット (μs)	グループ
41	101	0	-	-
43	79	22	20	A
49	72	29	20	A
50	68	33	20	A
55	61	40	20	A
42	60	41	20	A
47	53	48	20	B
48	49	52	20	B
54	42	59	20	B
56	20	81	20	C
44	94	7	83	D
45	90	11	83	D
51	83	18	83	D

【図34】





---

フロントページの続き

審査官 田中 幸雄

- (56)参考文献 特開平09 - 218861 (JP, A)  
特開平09 - 054699 (JP, A)  
特開2001 - 195265 (JP, A)  
長田徹也ほか, 複製タスクを許したマルチプロセススケジューリングのための遺伝的アルゴリズムの検討, 電子情報通信学会技術研究報告, 日本, 社団法人電子情報通信学会, 1996年11月, Vol. 96 No. 348, 17 - 24頁

- (58)調査した分野(Int.Cl., DB名)  
G06F 9/50  
G06F 9/48